



Comité Français de Mécanique des Sols et de Géotechnique



Le renforcement par inclusions rigides étudié sur modèles physiques

(thème 3 du PN ASIRI)

L. Thorel

J.C. Dupla, D. Dias, J. Canou, G. Rault, B. Simon, O. Jenck, A.Q. Dinh, G. Baudouin, U.S. Okyay





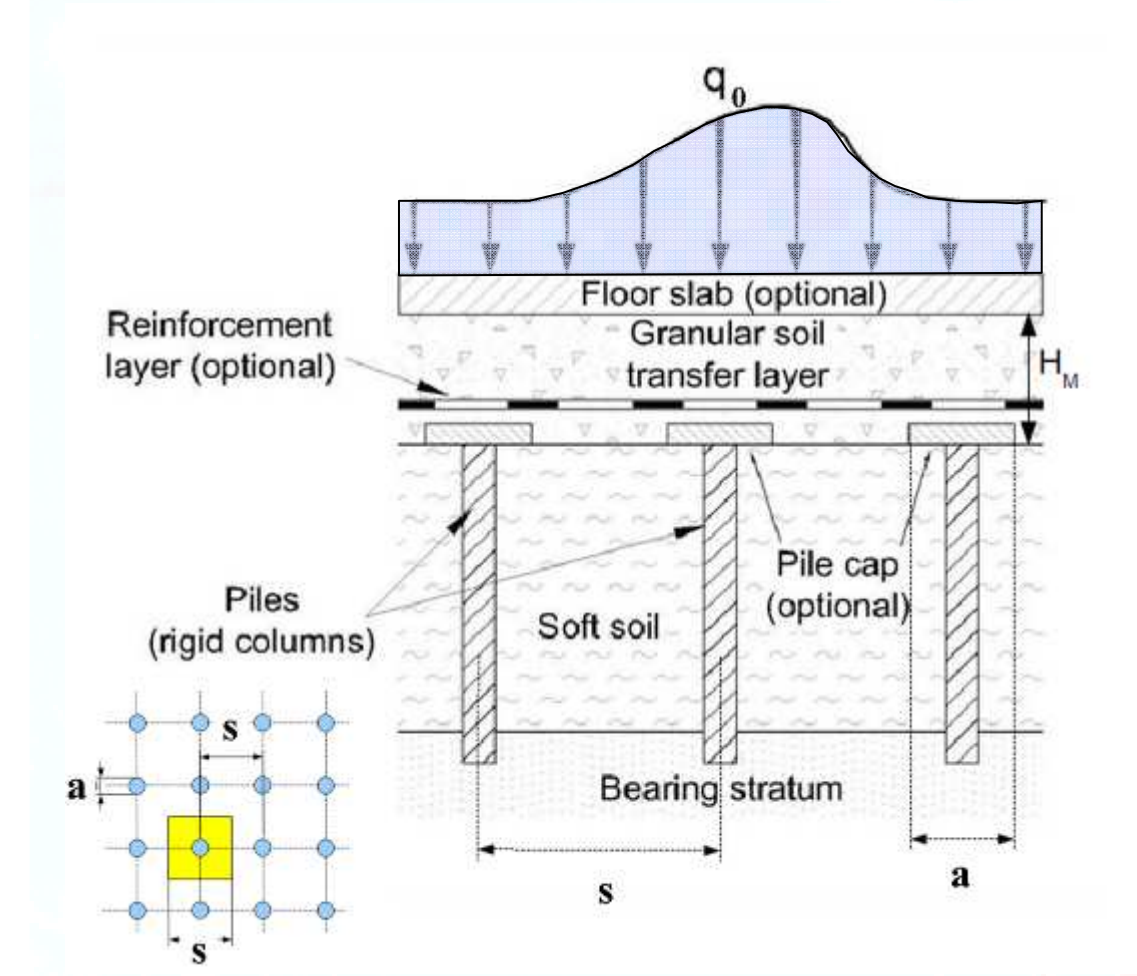
Amélioration des Sols par Inclusions Rigides

Opération du Réseau Génie Civil et Urbain





Introduction





[Simon & Schlosser, 2005]







Introduction: objectifs

Comportement des matériaux

+ expérimentations en vraie grandeur (thèmes 1&2)

Calage des modèles numériques (thème 4)

Exploration de problèmes spécifiques :

- Développement de l' «effet de voûte» dans le matelas granulaire
- Comportement d'un groupe élémentaire
- Report des efforts sur les inclusions (et sur le sol compressible)
- Réduction des tassements

Nécessité d'études paramétriques (essais multiples sous conditions contrôlées)

Sol type choisi, homogène Reproductibilité Contrôle des conditions aux limites Etat de contrainte Instrumentation







Introduction: méthodologie

Données In Situ: Plots d'essais & Chantiers

Comportement: Matériaux du matelas granulaire

Sol traité

Interface matelas-géosynthétique

Modélisation physique : Rouleaux de Schneebeli

Chambre d'étalonnage

Centrifugeuse

(Navier)

(IFSTTAR-Nantes)

(INSA-Lyon)

(INSA-Lyon)

(Navier)

(IFSTTAR-Nantes)

Modèles numériques



Méthodes de dimensionnement pratiques







Introduction: modèle physique

Modèle réduit :

Représentation physique simplifiée Simple changement d'échelle des longueurs

Modèle Physique Géotechnique:

« C'est une représentation physique simplifiée d'un problème à frontières finies pour lequel la similitude est recherchée dans le contexte des lois d'échelle adaptées. Un aspect clef de la modélisation physique est le processus d'idéalisation adopté pour représenter le comportement du sol, les effets géométriques, les charges, les effets de construction et de l'environnement menant au dimensionnement du modèle. Le modèle sera alors construit principalement avec un sol (ou un sol analogique), qui a été reconstitué artificiellement ou transporté depuis son lieu de dépôt naturel vers le laboratoire. »

[extrait du site What qualifies as 'physical modelling' for the purposes of the International Conference on Physical Modelling in Geotechnics Zurich 2010?]







Modèles Physiques – Thème 3

Appareillages

Paramètres étudiés

Perspectives







Appareillages

3 approches expérimentales sur modèles physiques :

Modèle 2D: Rouleaux de Schneebeli

2 inclusions 2D (éch.~ 1/3)

(INSA de Lyon)

Modèle axisymétrique : ~chambre d'étalonnage

1 inclusion axisymétrique (éch.~ 1/5)

(Laboratoire Navier Equipe Géotechnique)

Modèles 3D : Centrifugeuse géotechnique

3×3 inclusions 3D (éch.~1/28) & 13 à 61 inclusions (éch.~1/12 & 1/20)

(IFSTTAR-Centre de Nantes)

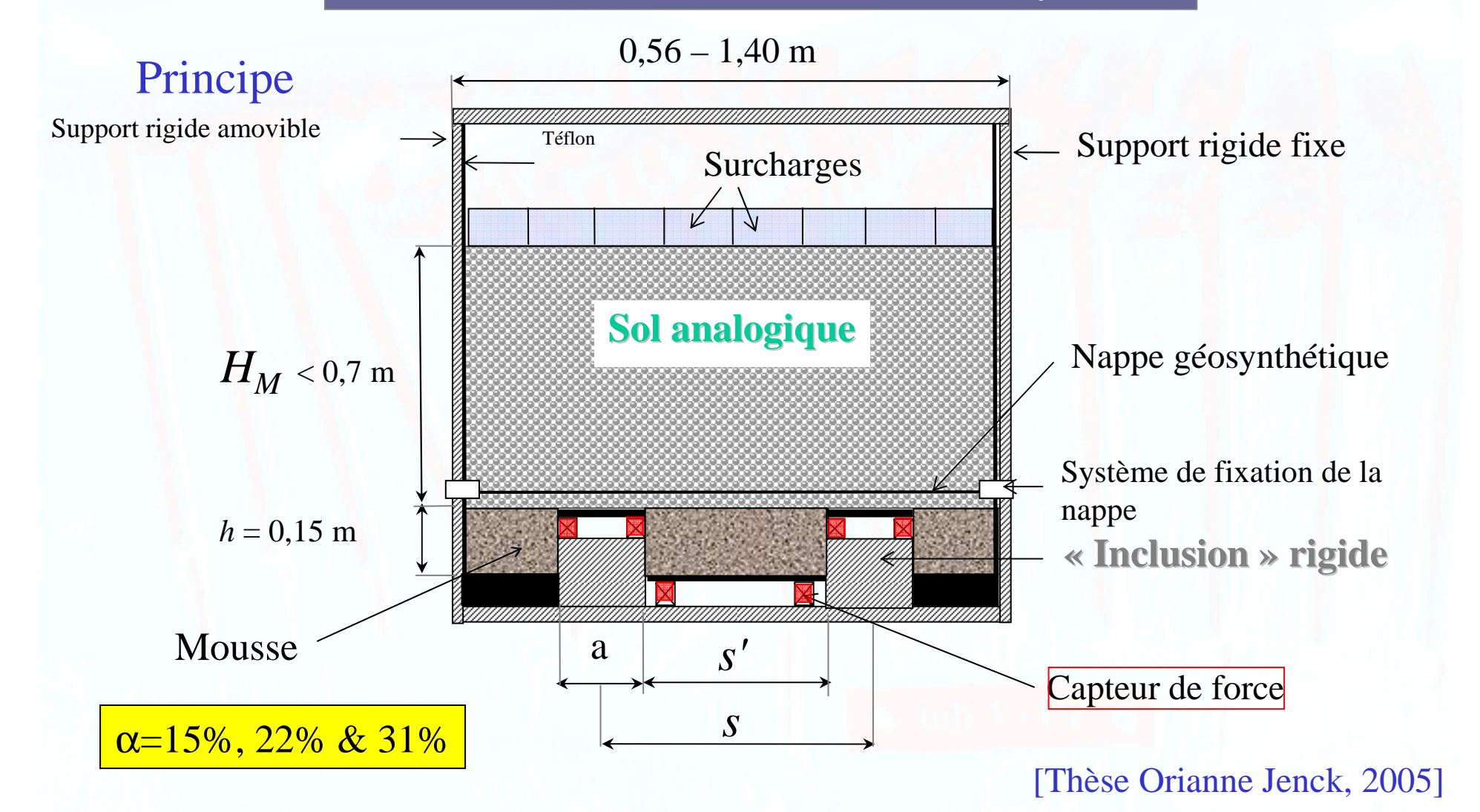






Appareillages: Modèle 2D

Rouleaux de Schneebeli (INSA Lyon)







Appareillages: Modèle 2D



Rouleaux de Schneebeli (INSA Lyon)

Lois d'échelle

	Prototype (vraie grandeur)	Modèle réduit	Modèle / proto
S	2 - 2.5 m	0,28 - 0,70 m	1/9 - 1/3
a	0.3 - 0.5 m	0.06 - 0.15 m	1/8 - 1/2
$\mathbf{H}_{\mathbf{M}}$	> 0.4 m	0.28 - 0.70 m	1/14 – 1/6
$ ho_{ m dM}$	$\sim 2000 \text{ kg/m}^3$	6320 kg/m ³	3,1
g	9.81m/s ²	9.81m/s ²	1
$\mathbf{H}_{\mathbf{M}} \gamma_{\mathbf{dM}}$	> 8 kPa	17-43 kPa	> 2,1 - 5,4
\mathbf{q}_0	~ 100 kPa	0 – 4 kPa	1/25

Pas de respect strict des similitudes (hormis échelle ~1/3)

=> Etude **qualitative** des phénomènes Données pour modélisation numérique

[ASIRI-1.06.3.01, 2006]

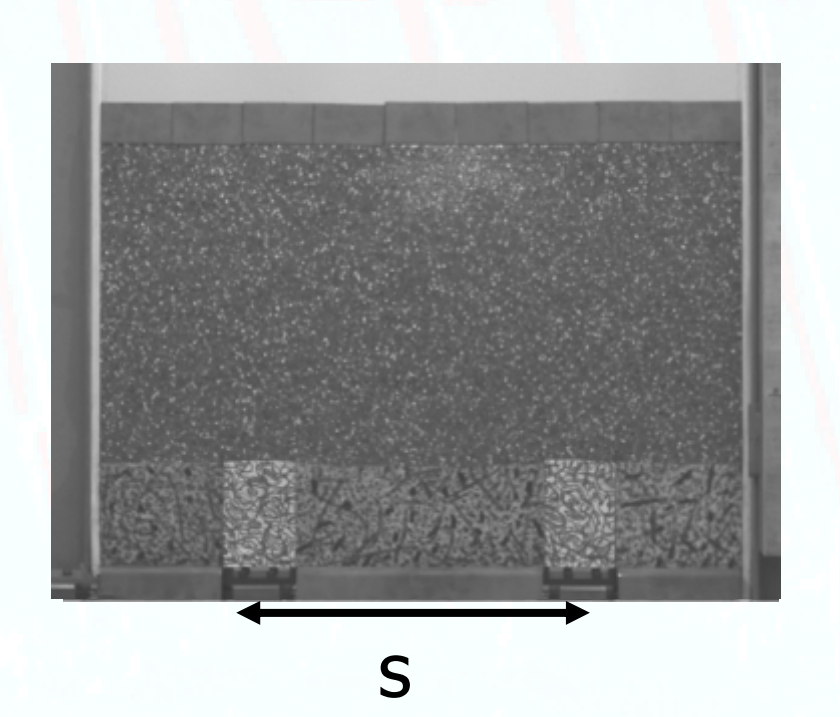




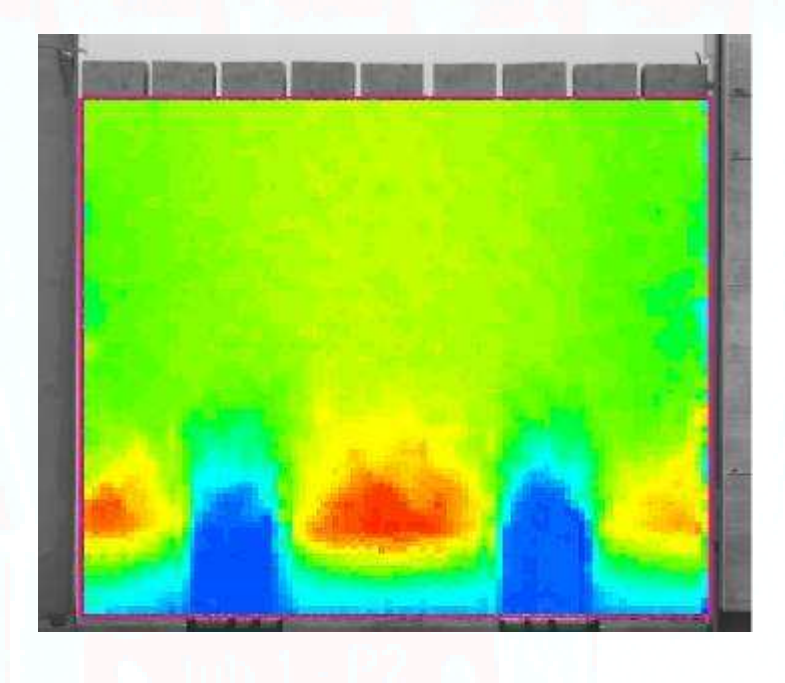
Appareillages: Modèle 2D



Rouleaux de Schneebeli (INSA Lyon)



Analyse d'image



[Thèse Orianne Jenck, 2005]

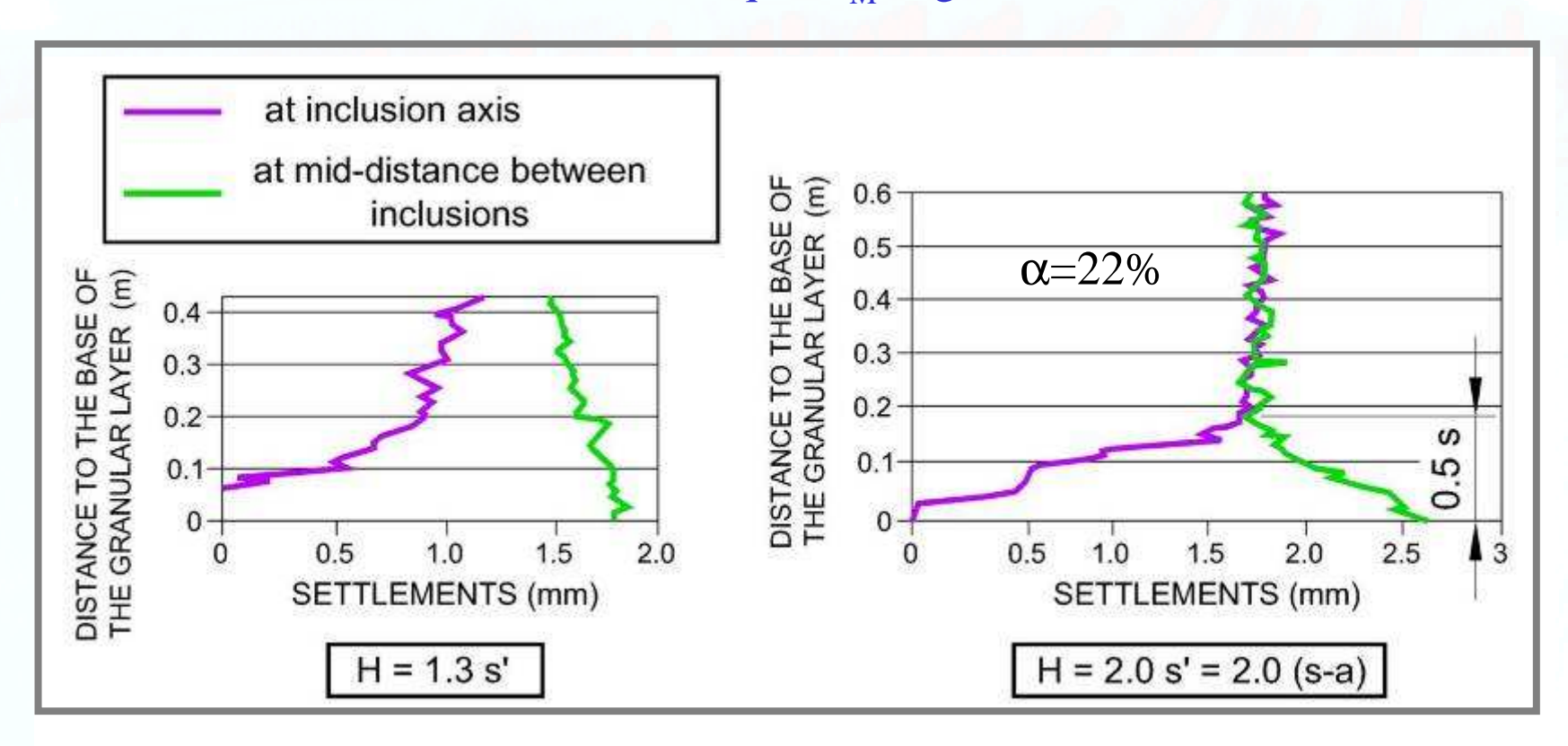




Exemple de Résultat Modèle 2D : tassements



Le tassement différentiel diminue lorsque H_M augmente



Si $H_M < H_C$: « incomplete arching »

Si $H_M > H_C$: « full arching »

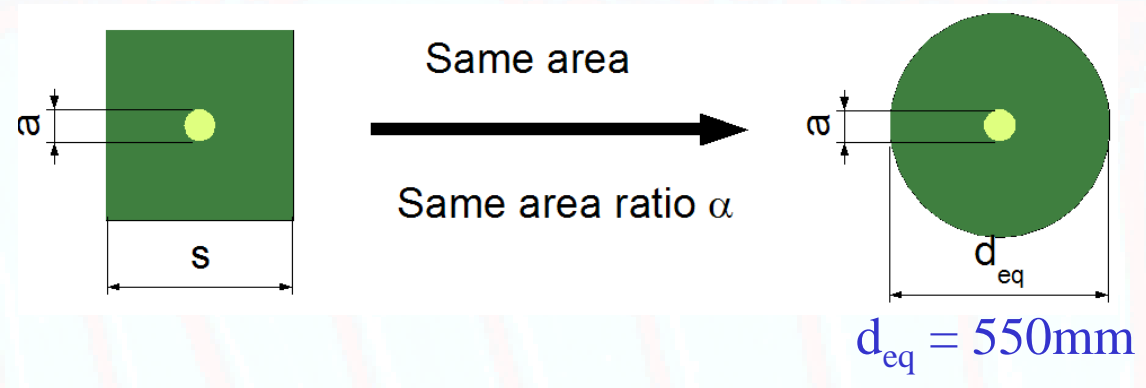






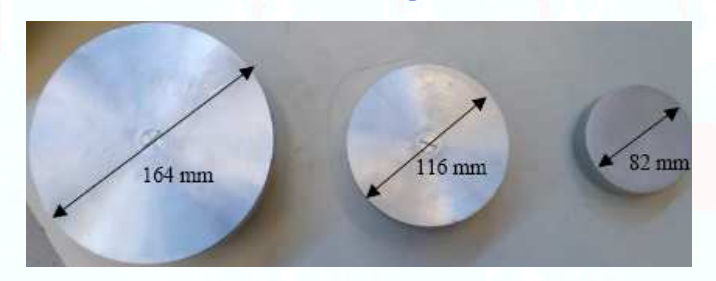


Principe



Nouveau dispositif inspiré de la chambre d'étalonnage

3 têtes d'inclusion interchangeable



α=2.22%, 4.44% & 8.88%

[Thèse Anh Quan Dinh, 2009]





Appareillages : Modèle Axisymétrique



Chambre d'étalonnage (Navier-Géotechnique)

Lois d'échelle

	Prototype (vraie grandeur)	Modèle réduit	Modèle / proto
S	2 - 2.5 m	0,49 m	1/5 - 1/4
a	0.3 - 0.5 m	0,082 – 0,164 m	1/6 - 1/1,8
$\mathbf{H}_{\mathbf{M}}$	> 0.4 m	0.1 - 0.3 m	1/4 - 1/1,3
$ ho_{ m dM}$	~2000 kg/m³	1630 kg/m ³	0,8
g	9.81m/s ²	9.81m/s ²	1
$H_{\mathrm{M}}\gamma_{\mathrm{dM}}$	> 8 kPa	2-5 kPa	> 1/4 - 1/1,6
\mathbf{q}_0	~ 100 kPa	0 – 100 <mark>k</mark> Pa	1

Pas de respect strict des similitudes (hormis échelle ~1/5)

=> Etude **qualitative** des phénomènes
Données pour modélisation numérique
[ASIRI 3.09.3.15, 2010]

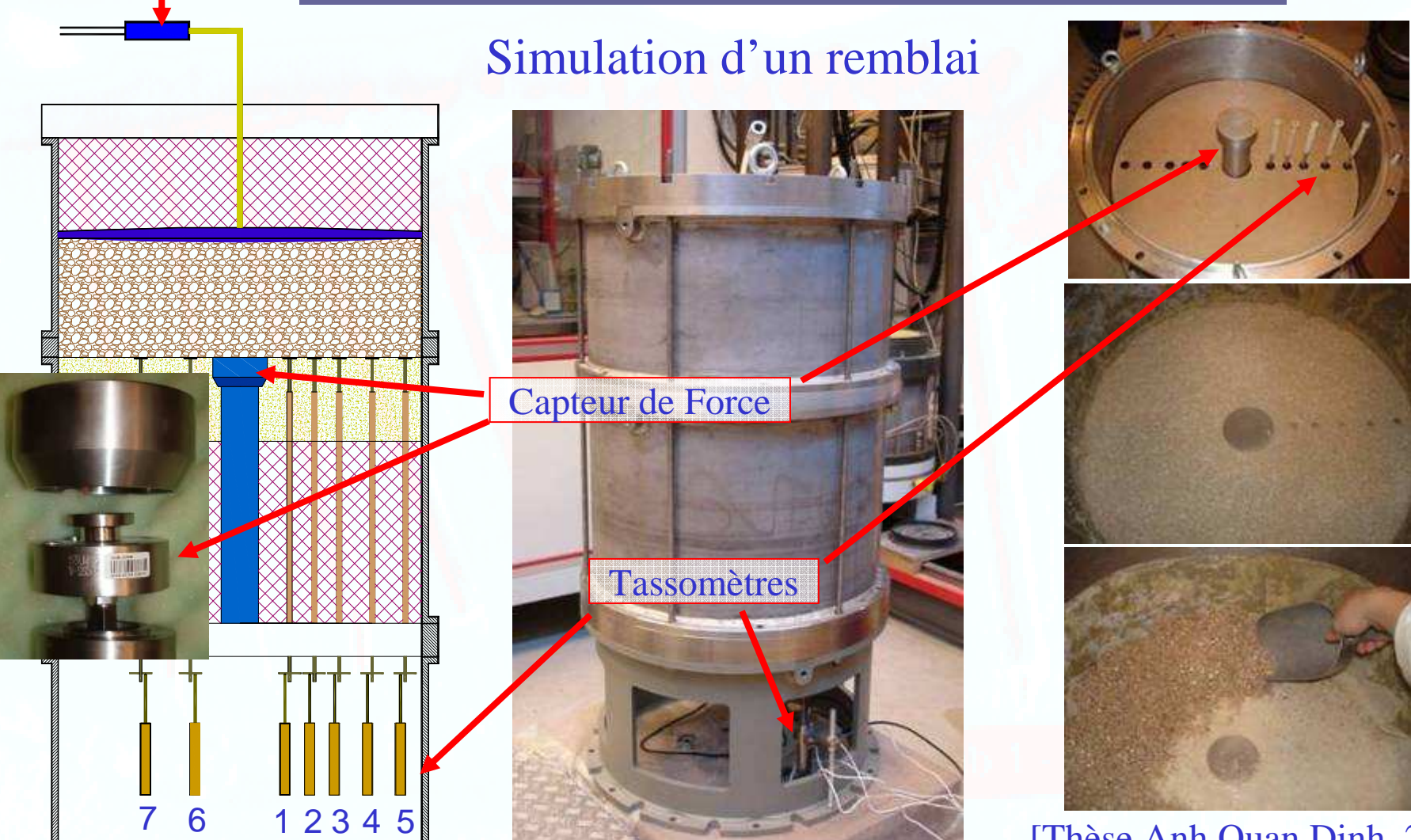




Appareillages : Modèle Axisymétrique



Capteur de Pression Chambre d'étalonnage (Navier-Géotechnique)





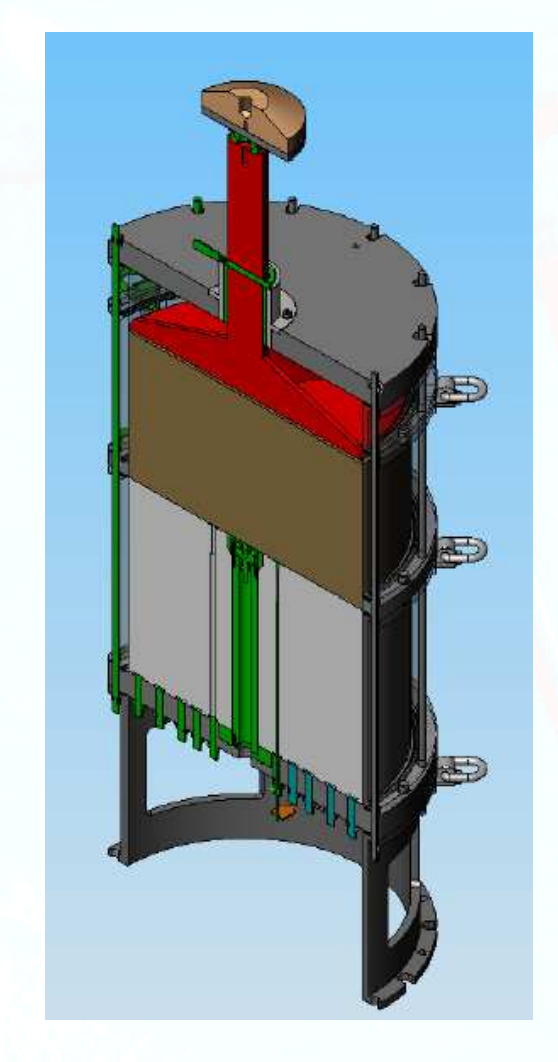
[Thèse Anh Quan Dinh, 2009]



Appareillages : Modèle Axisymétrique



Chambre d'étalonnage (Navier-Géotechnique)





Simulation d'un dallage



Servo vérin hydraulique

[ASIRI 3.09.3.15, 2010]





Appareillages: Modèle 3D

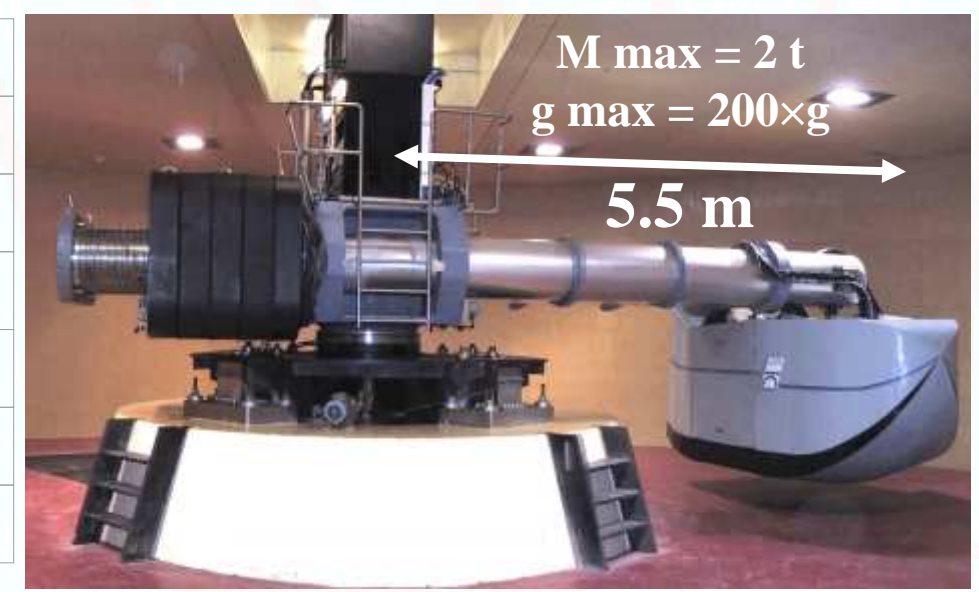


Centrifugeuse géotechnique (IFSTTAR-Nantes)

Principe

Augmenter les forces de masse => reproduire les états de contrainte dans le modèle réduit

Grandeur	Facteur d'échelle
Longueur, déplacement	ℓ*=1/N
Masse volumique	ρ*=1
Forces de masse	g*=N
Contrainte	σ*=1
Force	F*=1/N ²
Déformation	ε*=1



$$\ell^* = \ell^M / \ell^P = 1/N$$

[Garnier et al., 2007]





Appareillages : Modèle 3D



Centrifugeuse géotechnique (IFSTTAR-Nantes)

Lois d'échelle

	Prototype (vraie grandeur)	Modèle réduit (groupe élém.)	Modèle / proto
S	2-2.5 m	0,072 – 0,090 m	1/27,8
a	0.3 - 0.5 m	0,018 m	1/27,8
$\mathbf{H}_{\mathbf{M}}$	> 0.4 m	0,021-0,054 m	1,45-3,8
$ ho_{ m dM}$	~2000 kg/m³	1669 kg/m^3	0,8
g	9,81m/s ²	27,8×9.81m/s ²	27,8
$H_{M}\gamma_{dM}$	> 8 kPa	9-25 kPa	> 1 - 3
\mathbf{q}_{0}	~ 100 kPa	0 – 160 <mark>kP</mark> a	1

Respect strict des similitudes

=> Etude quantitative des phénomènes

Transposition à l'ouvrage en vraie grandeur

Données pour modélisation numérique

[ASIRI 2.08.3.08, 2008]





Appareillages: Modèle 3D

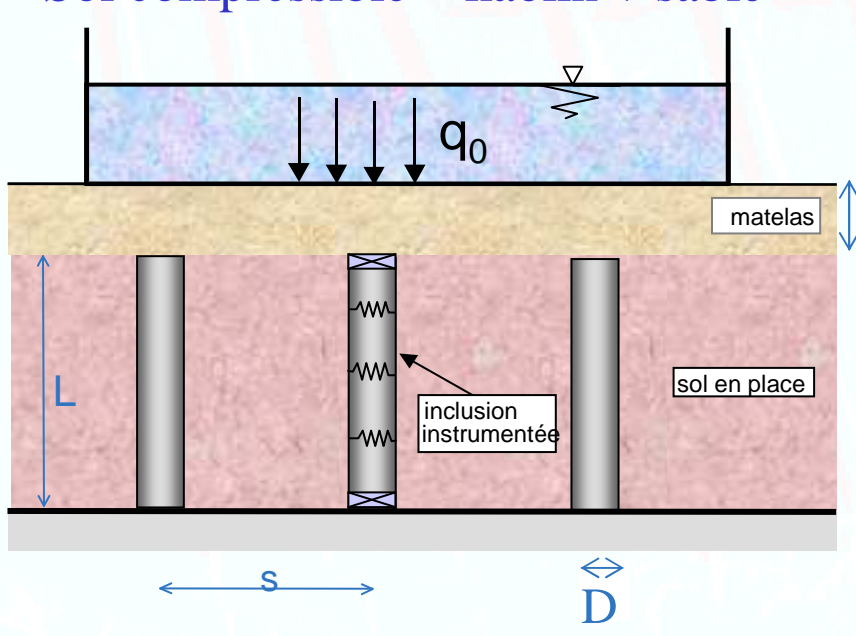


Centrifugeuse géotechnique (IFSTTAR-Nantes)

Groupe élémentaire 3×3

inclusions de maille carrée

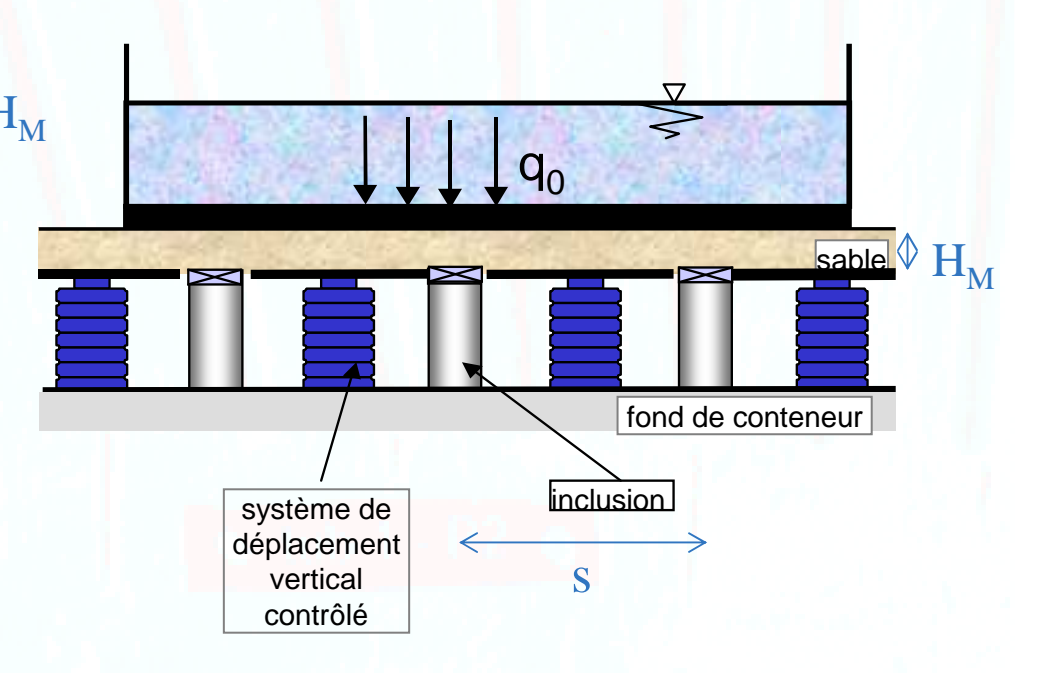
Sol compressible = kaolin + sable



[Thèse Gaëlle Baudouin, 2010]

Développement des voûtes dans le matelas 13 à 61 inclusions

Sol compressible = plateau mobile perforé



[Thèse Umur Salih Okyay, 2010]



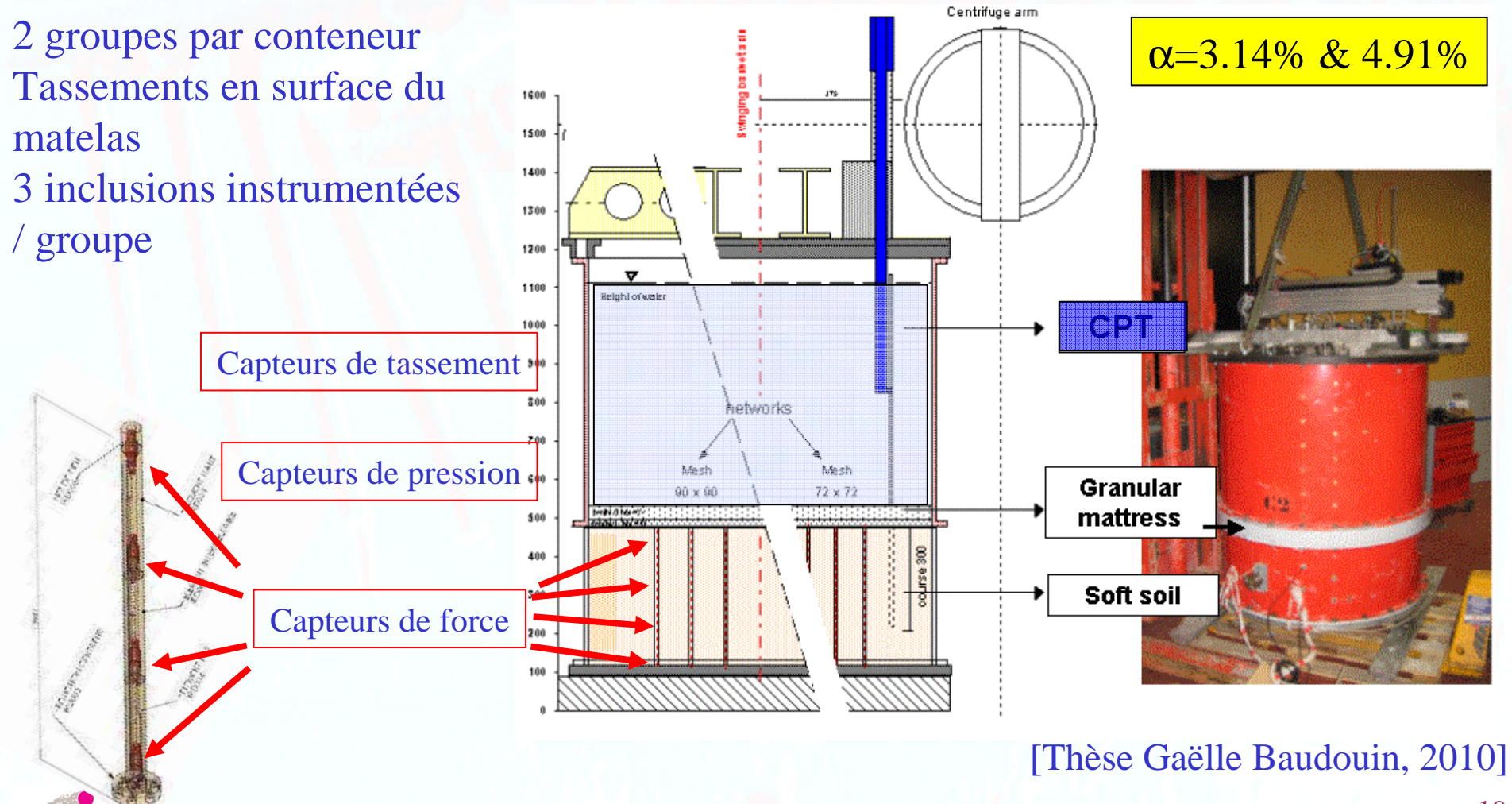


A.S.I.RI





Centrifugeuse géotechnique (IFSTTAR-Nantes) Groupes élémentaires





Appareillages: Modèle 3D



Centrifugeuse géotechnique (IFSTTAR-Nantes) Plateau mobile

Contrôle du tassement

 $\alpha = 1.23\%$, 2.47% & 4.91%

Capteurs de pression

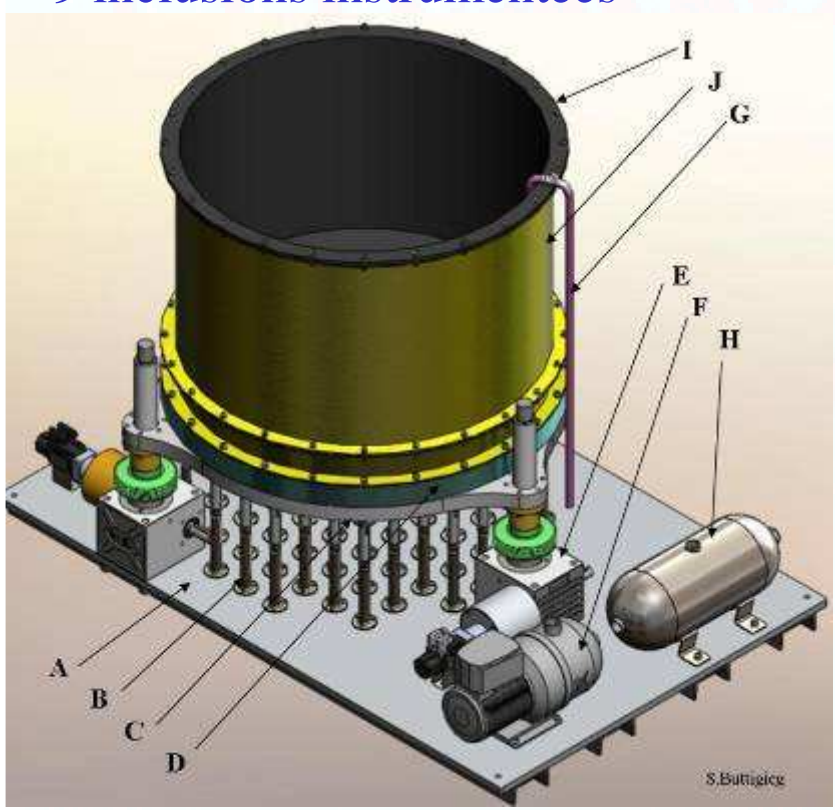
Capteurs de force

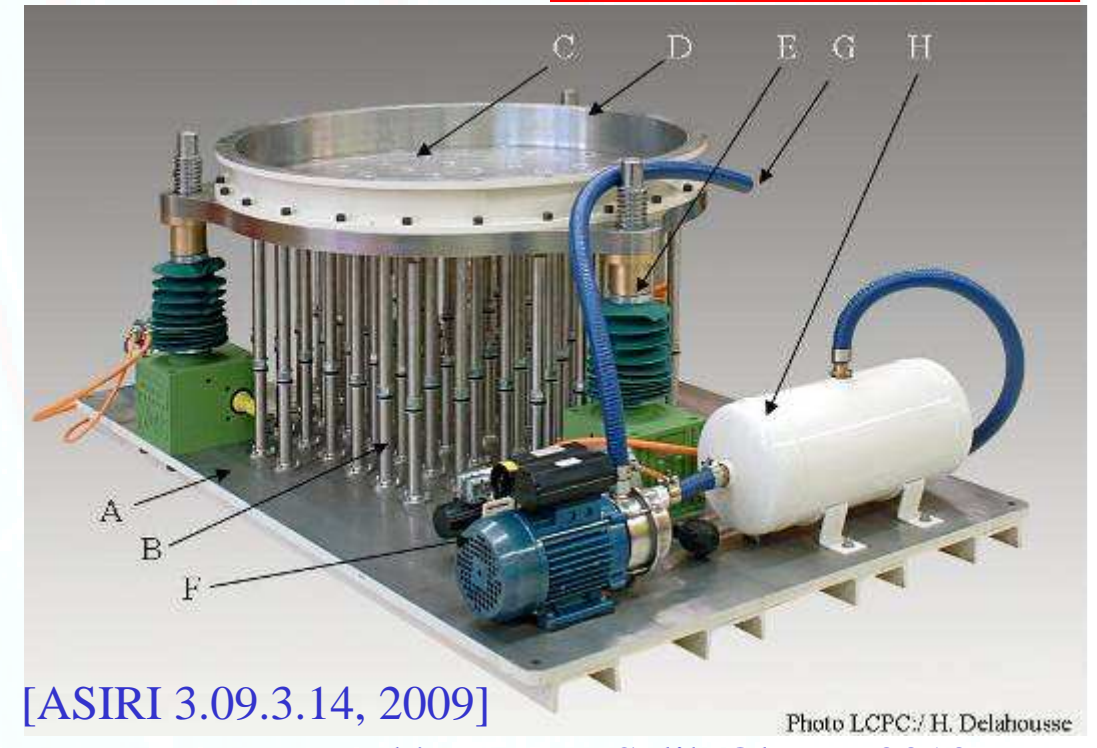
Tassements en surface du matelas

9 inclusions instrumentées

Capteurs de tassement

Capteurs de pression totale







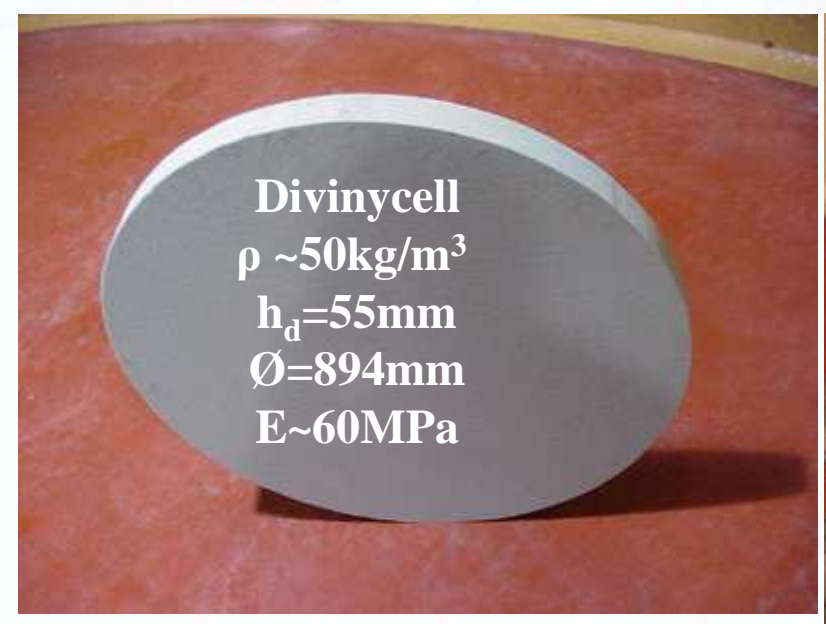


Appareillages: Modèle 3D

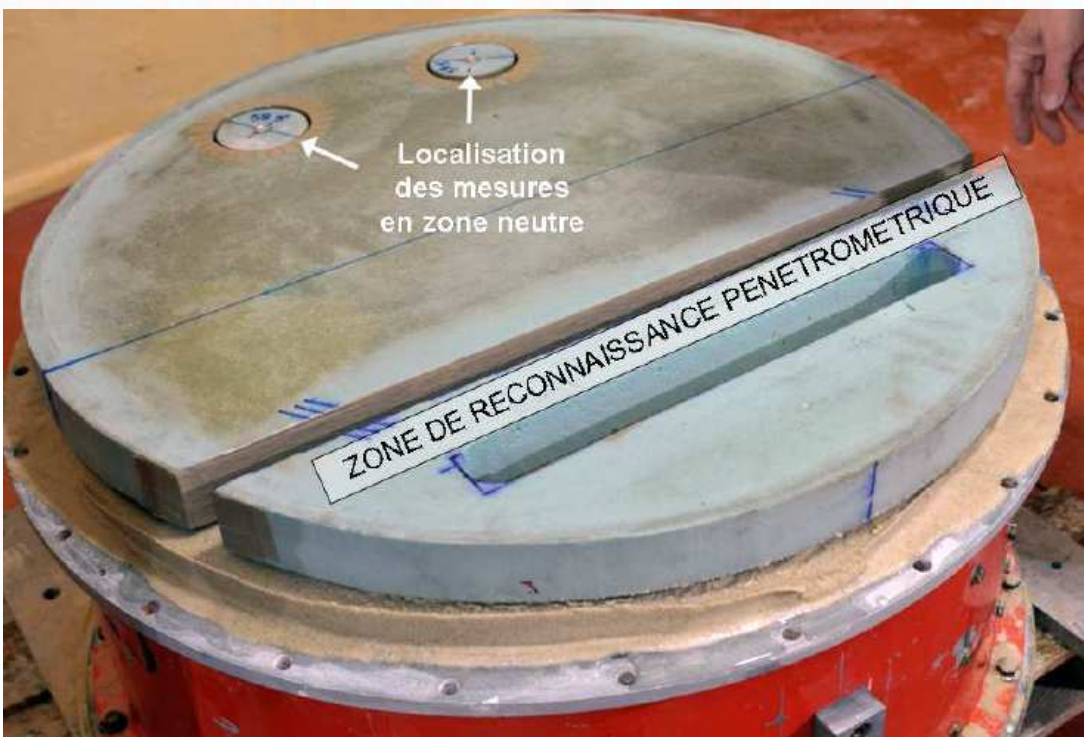


Centrifugeuse géotechnique (IFSTTAR-Nantes)

Simulation d'un dallage



 $(EI)^{M}/(EI)^{P} = 1/N^{4}$ Prototype épaisseur 18-21 cm béton fibré $E\sim10$ GPa





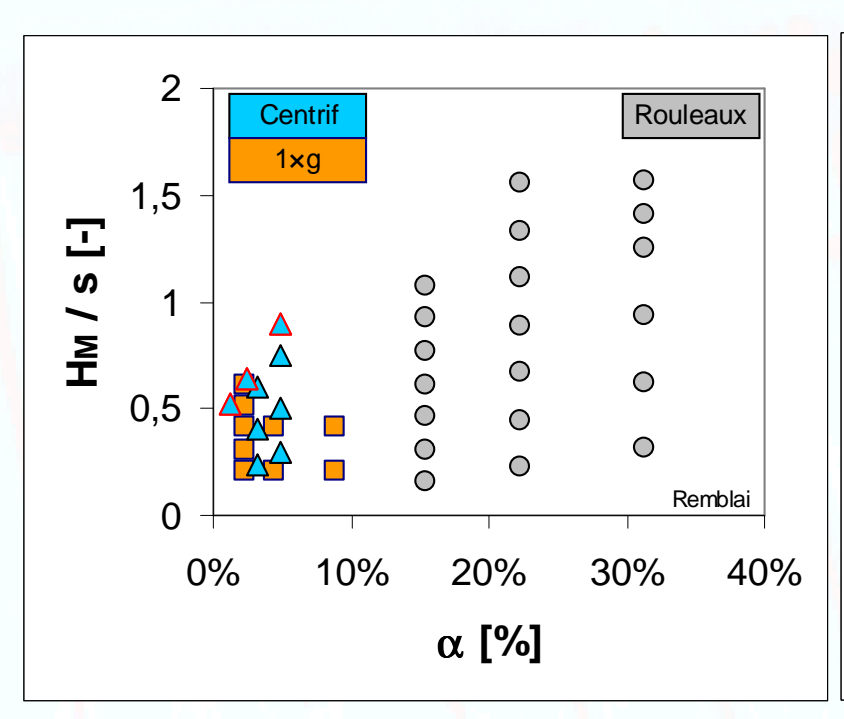
[Thèses Baudouin, 2010 et Okyay, 2010]

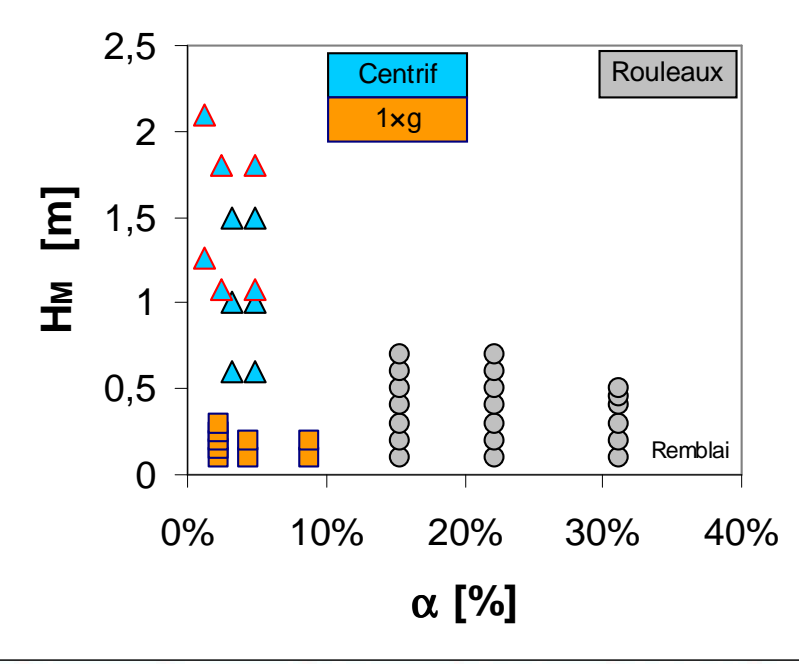




Paramètres étudiés

Géométrie





 α = (Aire inclusions) / (Aire sol renforcé)

H_M = hauteur du matelas

s = entre-axe entre inclusions

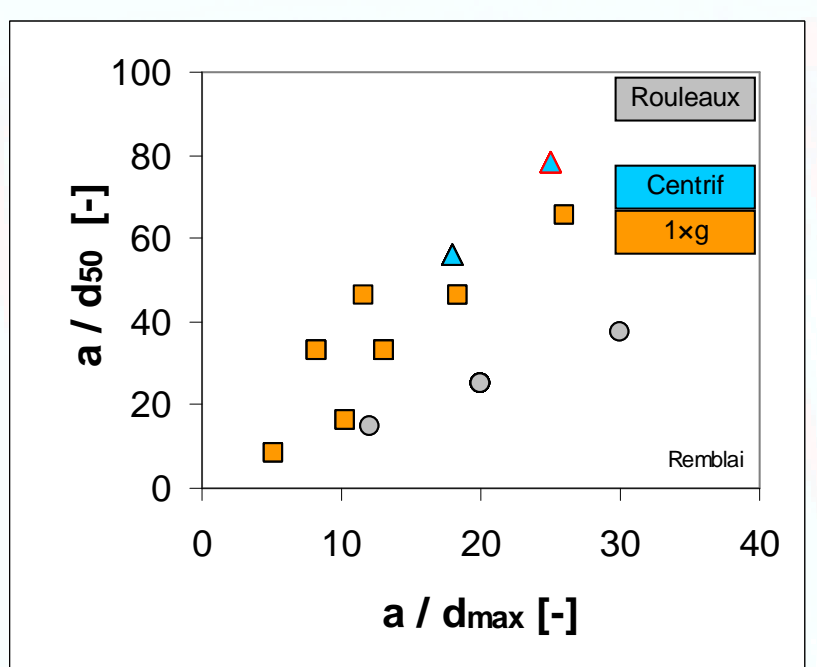




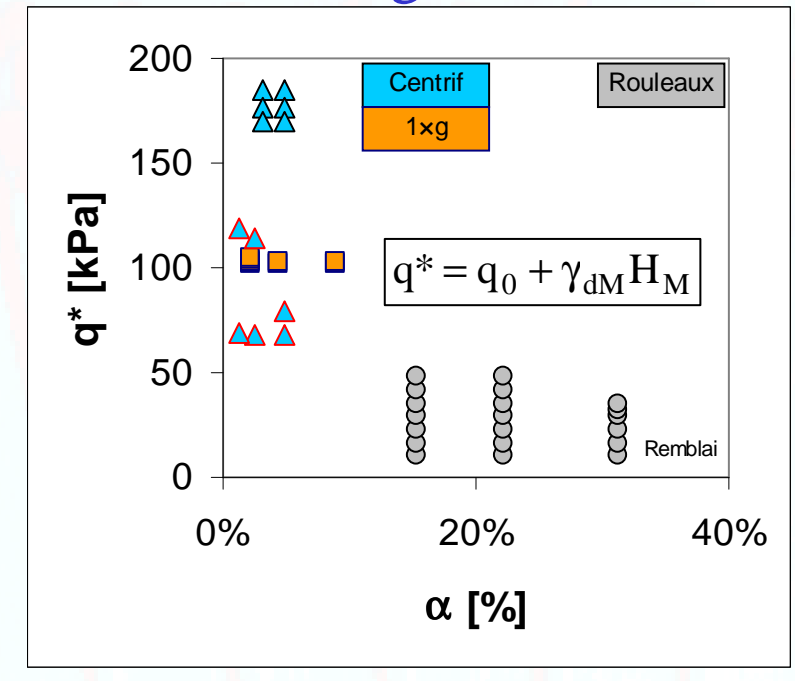


Paramètres étudiés

Granulométrie



Chargement



a = diamètre d'une inclusion

	Remblai	Dallage
2D ■	« Terrassement »	Blocs
Axisymétrique Baudruche		Piston
<i>3D</i> ■	Réservoir à fond souple	Réservoir à fond rigide







Paramètres étudiés

Nature des sols

	Sol compressible	Matelas
2D	2 mousses : ρ=80kg/m³ E=59 puis 277 kPa ρ=120kg/m³ E=277 puis 134 kPa	rouleaux en acier inox φ=21°, E~35 MPa Géosynthétiques : Typar J=20kN/m, RP75 J=140kN/m, RP200 J= 200kN/m
Axisymétrique	Mélange : Billes polystyrène (1-3mm) + sable Hostun HN31 + eau (w~10%) $C_c/(1+e_0) = 0,09 \text{ à } 0,16$	Mélange (d ₅₀ =2.5mm, C _U =10, C _C =3,9) φ=32 & 35° I _D =0.71 & 0.95 Gravier Hostun HN2/4 (d ₅₀ =2.5mm, C _U =2, C _C =0,9) φ =36° I _D =0.79 Microballast 5-8mm (d ₅₀ =5mm) φ =38° Micro-ballast 10-16mm (d ₅₀ =10mm) φ =40° ρ_d =1.62t/m³
3D Groupe	80% Kaolin+20% Sable Fontainebleau $C_c/(1+e_0) \sim 0.13$	Mélange de sable d'Hostun (d_{50} =0,32mm, C_{U} =3,5, C_{C} =0,9) φ=38°-42°, E=175-325MPa (Compr.) 100-130MPa (Ext.)
3D Plateau	Plateau Mobile	Mélange de sable d'Hostun Limon de Goderville traité : 3% CaCO : φ'=18°, c'=35 kPa, E=50MPa 6% Ciment : φ'=22°, c'=85 kPa, E=105MPa
Saint-Ouen	$C_c/(1+e_0) = 0.18 \text{ à } 0.44$	Grave Silico-Calcaire (d ₅₀ =10mm, C _U =4629) φ'~48°, c'=10-50 kPa



En bref



3 modèles physiques de géométrie différente 2D, axisymétrique, 3D adaptation et développement de matériels nouveaux

Effet sur l'efficacité et la réduction des tassements de :

la géométrie (H_M, α) ,

la granulométrie du matelas (étalement, taille des grains)

la nature du matelas (granulaire, sol traité)

l'intensité du chargement

la nature du chargement (remblai ou dallage, monotone ou cyclique)

la présence de géosynthétique

la compressibilité du sol





Perspectives



Chargement ponctuel
Semelle carrée sur 4 inclusions, chargement incliné

Géosynthétiques

Effet de la taille des grains (effets d'échelle), de la granulométrie

Position des joints de dallage

Sollicitation sismique?





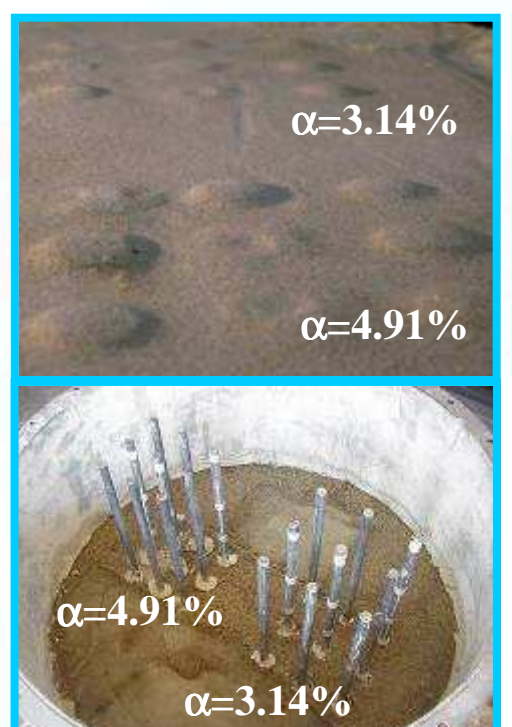




Quelques images





















Quelques images

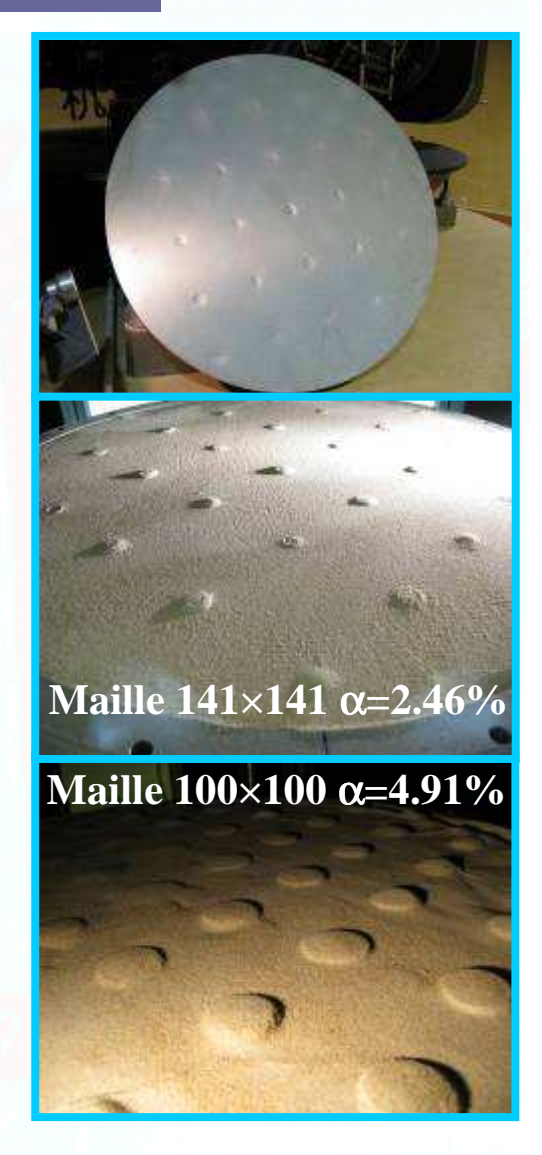


















Quelques images

















Les références en gras sont liées au PN ASIRI

Asaoka, A. 1978. Observational procedure of settlement prediction, Soil and Foundations, Vol. 18, No. 4.

Barchard J. 2002. Centrifuge modelling of piled embankments on soft soils. *Master of Science of Engineering Thesis, University New Brunswick*, 221p

Baudouin G. 2010. Sols renforcés par inclusion rigides : modélisation physique en centrifugeuse de remblais et de dallage. Thèse de Doctorat Univ. Nantes.

Baudouin G., 2009. Caractérisation des sols utilisés en centrifugeuse pour simuler un groupe élémentaire (3*3 inclusions). Rapport PN ASIRI n°3.09.3.09.

Baudouin G., Rault G., Thorel L. 2010 Renforcement de sol compressible par inclusions rigides sous dallage : modelisation en centrifugeuse. JNGG10 Grenoble. (soumis)

Baudouin G., Rault G., Thorel L. 2010. Analyse des efforts dans les inclusions rigides d'un groupe élémentaire (3*3 inclusions) : simulation en centrifugeuse du chargement d'un remblai et d'un dallage. Rapport PN ASIRI n°3.09.3.17.

Baudouin G., Rosquoêt F., Canou J., Dupla J.C., Thorel L, Rault G. & Andria-Ntoanina I. 2008. Caractérisation mécanique de sables d'Hostun. *Journées Nationales de Géotechnique et de Géologie de l'Ingénieur, Nantes 18-19 juin JNGG08, ISBN 9782720825204, pp491-498*.

Baudouin G., Thorel L. & Rault G. 2010. 3D load transfer in pile-supported earth platforms over soft-soils: centrifuge modelling, 7th international Conference on Physical Modelling in Geotechnics June 28th-july 1st, Zurich.

Baudouin G., Thorel L., Rault G., Garnier J., 2007. Renforcement de sols compressibles par inclusions rigides : dispositif pour la modélisation en centrifugeuse d'une maille élémentaire. XXVèmes rencontres universitaire de Génie Civil, Conception et vie des ouvrages, Bordeaux 23-25 mai 2007, 8p

Baudouin G., Thorel L., Rault G., Garnier J., Derkx F. & Buttigieg S., 2008. Centrifuge modelling of 3D load transfer in pile-supported earth platforms over soft-soils: experimental devices. 2nd BGA Int. Conf. on Foundations, ICOF2008. Brown M. J., Bransby M. F., Brennan A. J. & Knappett J. A. (Ed.). IHS BRE Press, EP93, ISBN 978-1-84806-044-9. Dundee, 24-27 june 2008. pp 1303-1313

Bergdahl U., Lingfors R. & Nordstrand P. 1979. *The mechanics of piled embankments*. Swedish Geotechnical Institute, vol. SG3-79, pp.310-320.







Briançon L. 2002. Renforcement des sols par inclusions rigides. Etat de l'art en France et à l'étranger. Rapport de l'IREX, 171p Briançon L., Kastner R., Simon B. & Dias D. 2004 Etat des connaisssances. Amélioration des sols par inclusions rigides. *Int Symp. On Ground Improvement, presses ENPC, pp15-44*

Briançon L., Plumelle C., Canou J., Dinh A.Q., Dupla J.-C., Baudouin G., Thorel L., Rault G., 2009 Expérimentations en vraie grandeur et sur modèles réduits du renforcement des sols par inclusions rigides. XVIIth ICSMGE Alexandrie, 5-9 oct. Hamza, Shahhien, El-Mossallamy (eds.). Millpress. Vol.3, pp.2032-2039.

Chen Y.M., Cao W.P. & Chen R.P. 2008. An experimental investigation of soil arching within basal reinforced and unreinforced piled embankments. *Geotextiles and Geomembranes*. vol.2: pp.164-174.

Demerdash, M.A. 1996. An experimental study of piled embankments incorporating geosynthetic basal reinforcement. Thesis, University of Newcastle Upon Tyne, Department of civil Engineering, 196p.

Dinh A.Q. 2009. Etude sur modèle physique des mécanismes de transfert de charge dans les sols renforcés par inclusions rigides. Application au dimensionnement. Thèse ENPC.229p.

Dinh A.Q., Canou J. & Dupla J.C. 2009. Eléments de caractérisation des matériaux utilisés dans le modèle physique 1g développé au CERMES. Rapport PN ASIRI n°3.09.3.13.

Dinh A.Q., Canou J. & Dupla J.C. 2009. Réalisation d'un programme d'essais sur le modèle physique 1g – Etude paramétrique. Simulation du chargement d'un remblai. Rapport PN ASIRI n°3.09.3.12.

Dinh A.Q., Canou J. & Dupla J.C. 2010. Réalisation d'un programme d'essais sur le modèle physique 1g – Etude paramétrique. Simulation du chargement d'un dallage. Rapport PN ASIRI n°3.09.3.15.

Dupla J.-C., Andria-Ntoanina I., Canou J. 2008. Caractérisation mécanique à l'appareil triaxial du mélange de sable d'Hostun utilisé en centrifugeuse en tant que matelas de transfert de charge. Rapport PN ASIRI n°2.08.3.07.46p.

Dupla J.-C., Canou J. & Dinh A.Q. 2007. Développement d'équipements spécifiques pour le modèle physique 1g en chambre d'étalonnage. Rapport PN ASIRI n°2.07.3.03. 10p.

Dupla J.-C., Canou J. & Dinh A.Q. 2007. Programme d'essais de qualification du modèle physique 1g et étude paramétrique préliminaire. Rapport PN ASIRI n°2.07.3.04. 13p.

Dupla J.-C., Canou J. & Dinh A.Q. 2008. Caractérisation des graves utilisées sur les plots expérimentaux de St-Ouen l'Aumône et de Chelles. Rapport PN ASIRI n°1.07.3.02. 104p.

Ellis E. & Aslam R. 2009. Arching in pile embankments: cmparison of centrifuge tests and predictive methods. *Ground Engineering*, june, 28-38.







Garnier J. & Pecker A. 1999. Use of centrifuge tests for the validation of innovative concept in foundation engineering. 2nd *Int. Conf. on Earthquake geotech. Engng, Lisbon, 7p*

Garnier J., Derkx F., Cottineau L.-M. & Rault G. 1999. Etudes géotechniques sur modèles centrifugés. Evolution des matériels et des techniques expérimentales. *Bulletin de liaison des laboratoires des Ponts et Chaussées.* 223. 27-50.

Garnier J., Gaudin C., Springman S.M., Culligan P.J., Goodings D., Konig D., Kutter B., Phillips R., Randolph M.F. & Thorel L. 2007. Catalogue of scaling laws and similitude questions in geotechnical centrifuge modeling. *Int. J. Physical Modelling in Geotechnics* ISSN 1346-213X, vol7, n°3, pp 1-24.

Hewlett W. J. & Randolph M. F. 1988. Analysis of piled embankment. Ground Engineering, vol.21, issue 3, pp.12-18.

Horgan G. J. & Sarsby R. W. 2002. The arching effect of soils over voids incorporating geosynthetic reinforcement. In: Delmas S., Gourc J.P. Eds. *Proc. of the 7th Int. Conf. on Geosynthetics*, 22-27 septembre 2002, Nice. Lisse, Pays-Bas: Swets & Zeitlinger, 2002, pp. 373-378.

Jenck O. (2005). Modélisation physique et numérique du renforcement des sols compressibles par inclusions rigides verticales. Concours des Jeunes Chercheurs, 23èmes rencontres de l'AUGC, Grenoble, 3-4 juin 2005. 8 p.

Jenck O., Dias D. & Kastner R. 2006. Expérimentations sur modèle réduit bidimensionnel en laboratoire. Modélisation physique de la plate-forme de transfert de charge. Rapport ASIRI 1.06.3.01, 79p.

Jenck O., Dias D., Kastner R. (2003). Le renforcement des sols par inclusions rigides verticales. 4ème rencontre du RDGC, Aussois, 16-19 mars 2003.

Jenck O., Dias D., Kastner R. (2004). Analyse du fonctionnement d'un massif de fondation renforcé par des inclusions rigides verticales - modélisation physique. In Shahrour et al. (eds), proc. of the International Conference on Geotechnical Engineering, Beyrouth, 19-22 mai 2004. pp 317-322.

Jenck O., Dias D., Kastner R. (2004). Modélisation physique bidimensionnelle du renforcement des sols compressibles par inclusions rigides verticales. In Dhouib et al. (eds), proc. of ASEP-GI, Paris, 9-10 septembre 2004. Presses de l'ENPC: pp 175-182. Jenck O., Dias D., Kastner R. (2004). Modélisation physique bidimensionnelle du renforcement des sols compressibles par inclusions rigides verticales. AUGC 2004, Marne la Vallée, 3-4 juin 2004.

Jenck O., Dias D., Kastner R. (2004). Physical modelling of a rigid pile supported earth platform. In Walraven et al. (eds), proc. of the 5th PhD Symposium, Delft, Pays-Bas, 16-19 juin 2004. Balkema: Vol. 1, pp 33-40.

Jenck O., Dias D., Kastner R. (2005). "Renforcement des massifs de fondation par inclusions rigides verticales - modélisation physique bidimensionnelle et confrontation à des méthodes de dimensionnement." Annales du BTP, n°1 de 2005 : 23-37.

Jenck O., Dias D., Kastner R. (2005). "Soft Ground improvement by vertical rigid piles – Two-dimensional physical modelling

and comparison with current design methods". Soils & Foundations 45(6): 15-30.





Jenck O., Dias D., Kastner R. (2005). Arching in piled embankment - Two-dimensional physical and numerical modelling. In Barla G., Barla M. (eds), proc. of the 11th International Conference IACMAG, Turin, 19-24 juin 2005. Bologne: Pràtron Editore: Vol. 2, pp 333-340.

Jenck O., Dias D., Kastner R. (2005). Construction sur sol compressible: renforcement par inclusions rigides verticales, modélisation physique et numérique bidimensionnelle. In proc. of the International Symposium on Urban Geotechnics (GeoCityNet 2005), Lille, 10-11 octobre 2005.

Jenck O., Dias D., Kastner R. (2005). Etude expérimentale sur modèle réduit d'un remblai sur sol renforcé par inclusions rigides verticales. In proc. of the 16th International Symposium on Soil Mechanics and Geotechnical Engineering (ISSMGE), Osaka, Japon, 12-16 septembre 2005.

Jenck O., Dias D., Kastner R. (2005). Physical and numerical modelling of soft ground improvement by vertical rigid piles. In De Gennaro, Pereira & Delage (eds) proc. of the 2nd International Workshop of Young Doctors in Geomechanics, Champs-sur-Marne, 23-25 novembre 2005. pp 71-73.

Jenck O., Dias D., Kastner R. (2005). Soft ground improvement by vertical rigid piles - Two-dimensional physical and numerical modelling. In Bilsel H., Nalbantoglu Z. (eds), proc. of the International Conference on Geotechnical Engineering GeoProb 2005, Chypre, 25-27 mai 2005. Vol.2, pp 857-864

Jenck O., Dias D., Kastner R. (2006) "Small scale model test and numerical modelling of soft ground improvement by vertical rigid piles." 1st Euro Mediterranean Symp. on Advances in Geomaterials and Structures, Hammamet, Tunisie, 3-5 mai 2006. Jenck O., Dias D., Kastner R. (2006) "Soft ground improvement by vertical rigid piles and basal geosynthetic reinforcement - physical modelling." 8th Int. Conf. on Geosynthetics 8ICG, Yokohama, Japon, 18-22 septembre 2006.

Jenck O., Dias D., Kastner R. (2006) "Two-dimensional physical modelling of soft ground improvement by vertical rigid piles." Int. Conf. of Physical modelling in Geotechnics, Hong Kong, 4-6 août 2006.

Jenck O., Dias D., Kastner R. (2007). "Two-Dimensional Physical and Numerical Modeling of a Pile-Supported Earth Platform over Soft Soil". Journal of Geotechnical and Geoenvironmental Engineering 133 (3): 295-305.

Jenck O., Dias D., Kastner R. (2008) "Physical model and discrete element method analysis of a granular platform supported by piles in soft soil." ASCE GeoCongress 2008, La Nouvelle-Orléans, mars 2008. Geotechnical Special Publ. n°179, pp. 982-989. Jenck, O. 2005. Le renforcement des sols compressibles par inclusions rigides verticales. Modélisation physique et numérique, PhD Thesis, INSA de Lyon, Villeurbanne.







Kempfert H. G., Zaeske D. & Alexiew D. 1999. Interactions in reinforced bearing layers over partially supported underground. In: *Proc. of the 12th European Conf. on Soil Mechanics and Geotechnical Engineering (12th ECSMGE)*, 7-10 juin 1999, Amsterdam, Pays-Bas. Rotterdam: Balkema, 1999, vol. 3, pp. 1527-1532.

Laboratoire Central de Ponts et Chaussées, 1992a, Réalisation des Remblais et des Couches de Forme, France.

Laboratoire Central de Ponts et Chaussées, 2003, Practical Manual for the Use of Soils and Rocky Materials in Embankment Construction, Technical Guide 60p.

Laboratoire Central des Ponts et Chaussées, 1992b, Réalisation des Remblais et des Couches de Forme, France, Fascicules I 98p et II 102p.

Lajevardi S.H., Dias D., Briançon, L. 2010 Essais d'extraction au banc d'ancrage. Caractérisation de l'interface sol/nappe géosynthétique. Rapport ASIRI n°3.10.3.18. 42p.

Low, B. K., Tang, S. K. & Choa, V. 1994. Arching in piled embankments, J. Geotech. Engrg., Vol.120, N°11, pp. 1917–1937.

Okyay U. Dias D., David J.P.& Auriol J.C. 2009. Essais de caractérisation du limon de Goderville traité. Rapport ASIRI n°2.09.3.10. 38p. Okyay U.S. 2010 Etude expérimentale et numérique des transferts de charge dans un massif renforcé par inclusions rigides.

Application à des cas de chargements statiques et dynamiques Thèse de Doctorat, INSA de Lyon.

Pecker, A. 2000. Pont de Rion – Antirion : fiabilité et conception parasismique des fondations. La sécurité des grands ouvrages. Presses ENPC, pp 21-51.

Rault G., Baudouin G., Thorel L. 2007. Comportement d'un groupe élémentaire (3*3 inclusions) : conception des montages. Rapport ASIRI n°2.07.3.05. 27p.

Rault G., Baudouin G., Thorel L. 2007. Comportement d'un groupe élémentaire (3*3 inclusions) : réalisation des montages. Rapport ASIRI n°2.07.3.06. 35p.

Rault G., Baudouin G., Thorel L. 2010. Comportement d'un groupe élémentaire (3×3 inclusions) : simulation en centrifugeuse du chargement d'un dallage. Rapport ASIRI 2-07-3-11,

Rault G., Buttigieg S., Thorel L., Derkx F., Okyay U. Six G. & Néel A. 2010. Mobile tray for simulation of 3D load transfer in pile-supported earth platforms in a centrifuge. 7th international Conference on Physical Modelling in Geotechnics June 28th-july 1st, Zurich.

Rault G., Buttigieg S., Thorel L., Derkx F., Okyay U., Sic G., Néel A. 2010 inclusions rigides en centrifugeuse : developpement d'un dispositif experimental a plateau mobile. JNGG10 Grenoble.(soumis)

Rault G., Okyay U., Thorel L. 2010. Etude du transfert de charge par cisaillement. Dispositif de plateau mobile. Matelas granulaire et matelas en limon traité. Rapport ASIRI 2-07-3-16.

Rault G., Thorel L. & Garnier J. 2006. Modélisation physique de fondations et d'ouvrages maritimes. *Mécanique et Industries*, *ISSN1296-2139*, vol7, pp 223-230







Simon B. & Schlosser F. 2005 Soil reinforcement by vertical stiff inclusions in France Symp Rigid Inclusion in difficult conditions, 11-12 mayo, Mexico, 22p.

Thorel L., Baudouin G., Rault G., Derkx F., Buttigieg S., Garnier J., 2008 Dispositif d'étude du transfert de charge dans un système de sol compressible renforcé par inclusions rigides sur modèle réduit centrifugé. Studia Geotechnica et Mechanica, vol.XXX, n° 1-2, pp257-268.

Thorel L., Dupla J.C., Rault G., Canou J., Baudouin G., Dinh A.Q. & Simon B. 2010. Pile-supported earth platforms: two approaches with physical models. 7th international Conference on Physical Modelling in Geotechnics June 28th-july 1st, Zurich.

Thorel L., Rault G. & Baudouin G. 2008. Comportement d'un groupe élémentaire (3×3 inclusions): simulation en centrifugeuse du chargement d'un remblai. Rapport ASIRI 2-07-3-08, 66p+78p.

Thorel L., Rault G., Garnier J., Murillo C., Gaudicheau P., Néel A. & Favraud C. 2008. Macro-gravity measurements on reduced-scale models of geotechnical structures. *Bulletin de liaison des Ponts et Chaussées* ISSN 1269-1496, n° 272-273 spécial Métrologie pp93-131. **Thorel, L**; Baudouin, G., Rault, G., Derkx, F., Buttigieg, S., Garnier, J. 2007. Modélisation en centrifugeuse du renforcement de sols compressibles par inclusions rigides: dispositifs du transfert de charge par cisaillement. 18ème Congrès Français de mécanique, Grenoble, 6p.

Van Eekelen D. J. M., Bezuijen A. & Oung O. 2003. Arching in piled embankments experiment and design calculation. *Foundations : Innovations, observations, design and practice,* Thomas Telford, London, 2003, pp 885-894.

